

# ТЕОРЕТИЧЕСКИЙ АНАЛИЗ ДВУХЩЕЛЕВОЙ СВЕРХПРОВОДИМОСТИ ДИБОРИДОВ МАГНИЯ И ПНИКТИДОВ ЖЕЛЕЗА В ОБОБЩЕННОЙ $\alpha$ -МОДЕЛИ

***E. Г. Максимов<sup>a</sup>, A. Е. Каракозов<sup>b\*</sup>, Б. П. Горшунов<sup>c,d\*\*</sup>,***

***Я. Г. Пономарев<sup>e</sup>, Е. С. Жукова<sup>c,d</sup>, M. Dressel<sup>f\*\*\*</sup>***

*<sup>a</sup> Физический институт им. П. Н. Лебедева Российской академии наук  
119991, Москва, Россия*

*<sup>b</sup> Институт физики высоких давлений им. Л. Ф. Верещагина Российской академии наук  
142190, Троицк, Московская обл., Россия*

*<sup>c</sup> Институт общей физики им. А. М. Прохорова Российской академии наук  
119991, Москва, Россия*

*<sup>d</sup> Московский физико-технический институт (Государственный университет)  
141700, Долгопрудный, Московская обл., Россия*

*<sup>e</sup> Московский государственный университет им. М. В. Ломоносова  
119991, Москва, Россия*

*<sup>f</sup> 1. Physikalisches Institut, Universität Stuttgart  
70550, Stuttgart, Germany*

Поступила в редакцию 10 ноября 2011 г.

На основании исследования свойств двухзонных уравнений теории сверхпроводимости предложена обобщенная  $\alpha$ -модель расчета сверхпроводящих характеристик реальных двухзонных сверхпроводников. В рамках этой модели рассчитаны теплоемкость и оптические свойства сверхпроводящего соединения  $\text{Ba}(\text{Fe}_{1-x}\text{Co}_x)_2\text{As}_2$ , а также температурные зависимости щелей и энергий мод Леггетта в сверхпроводящей системе  $\text{Mg}_{1-x}\text{Al}_x\text{B}_2$ . Продемонстрировано хорошее количественное совпадение расчетных и экспериментальных результатов.

## 1. ВВЕДЕНИЕ

Слоистые сверхпроводники на основе  $\text{MgB}_2$  и пниктиды/халькогениды железа представляют значительный научный интерес как промежуточные между классическими трехмерными сверхпроводниками и высокотемпературными сверхпроводниками. Открытые более десяти лет назад сверхпроводники семейства  $\text{MgB}_2$  изучены наиболее подробно. Из-за относительной простоты кристаллической структуры, отсутствия в этих соединениях переходных элементов и достоверно установленной классической

электрон-фононной природы сверхпроводимости система  $\text{MgB}_2$  представляет собой идеальный объект для проверки возможностей современных методов расчетов электронной структуры и теории сверхпроводимости. В настоящее время можно считать хорошо установленным, что в сверхпроводнике  $\text{MgB}_2$  существуют, по крайней мере, две значительно отличающиеся друг от друга электронные зоны: квазидвумерная, как принято называть  $\sigma$ -зона, связанная со слоями атомов бора, и трехмерная,  $\pi$ -зона, а также две связанные с этими зонами хорошо определенные сверхпроводящие щели  $\Delta_{\sigma,\pi}$ .

Среди двухзонных трехмерных металлов двухщелевая сверхпроводимость наблюдается крайне редко (в очень чистых, с концентрацией дефектов

---

\*E-mail: karakozov@mtu-net.ru

\*\*E-mail: gorshunov@ran.gpi.ru

\*\*\*M. Dressel

менее 0.01 %,  $s-d$ -элементах: Nb, V, Ta; см., например, обзор [1] и цитированную там литературу). Проявлению двухщелевой сверхпроводимости препятствует межзонное рассеяние. Межзонное электрон-фононное рассеяние приводит к сближению щелей, так же как и межзонное примесное рассеяние, смешивающее электронные состояния разных зон (так называемая «изотропизация»), что способствует такому же эффекту. Последнее особенно существенно для трехмерных двухзонных сверхпроводников, в которых, во-первых, даже в чистых элементах щели  $\Delta_{I,J}$  (и константы связи) различаются незначительно [1], и, во-вторых, матричные элементы межзонного рассеяния на примесях вследствие изотропии примесного потенциала могут оказаться существенно больше электрон-фононных [2], вследствие чего даже небольшое количество примесей полностью выравнивает величины щелей.

В слоистых сверхпроводниках с более сложной анизотропной кристаллической структурой ситуация с влиянием дефектов более сложна для теоретического анализа, так как имеется сильная зависимость от положения дефектов. В частности, в работе [3] было убедительно и наглядно показано, что в соединении MgB<sub>2</sub> дефекты в плоскости атомов бора (например, примеси углерода) характеризуются как и в трехмерном случае сильным межзонным примесным рассеянием. Но, в отличие от последнего, в котором щели близки по величине [1], примесная изотропизация в MgB<sub>2</sub> приводит к резкому уменьшению  $\Delta_\sigma$  и ухудшению всех сверхпроводящих характеристик. Напротив, межзонное примесное рассеяние на дефектах в магниевой плоскости (например, Al) мало в меру малости перекрытия орбиталей таких дефектов с орбиталями подсистемы бора. (Анализ экспериментальных данных о поведении щелей  $\Delta_{\sigma,\pi}(0)$  в системе Mg<sub>1-x</sub>Al<sub>x</sub>B<sub>2</sub> при разупорядочении или допинге Al [4–6] показывает, что основной эффект состоит в уменьшении внутризонной константы ЭФВ  $\lambda_{\sigma\sigma}$  за счет уменьшения плотности электронных состояний в  $\sigma$ -зоне [3, 7].) Эти результаты показывают, что для представляющих практический интерес слоистых сверхпроводников межзонное примесное рассеяние мало и при исследовании свойств таких сверхпроводников его можно не учитывать, чем мы и воспользуемся в дальнейшем.

Экспериментальные данные о величине щелей  $\Delta_{\sigma,\pi}(0)$  в MgB<sub>2</sub>, к сожалению, сильно различаются. Установленным можно считать только, что в отличие от трехмерного случая щель  $\Delta_\sigma(0)$  существенно больше  $\Delta_\pi(0)$ . Помимо различного качества образ-

**Таблица 1.** Константы ЭФВ MgB<sub>2</sub> по данным расчетов *ab initio* [8, 13, 14]

	$\lambda_{11}^0$	$\lambda_{22}^0$	$\lambda_{12}^0$	$\lambda_{21}^0$
[8]	0.96	0.29	0.17	0.23
[13]	1.02	0.45	0.16	0.21
[14]	0.78	0.21	0.11	0.15

зов причиной большого разброса данных является также специфика экспериментальных методик, большинство из которых являются «косвенными», т. е. позволяют определить сверхпроводящие щели лишь при помощи сложных пересчетов с привлечением теоретических моделей. Это значительно снижает точность результатов, особенно при определении температурной зависимости щелей.

Расчеты сверхпроводящих свойств системы MgB<sub>2</sub> *ab initio* электрон-фононным взаимодействием (ЭФВ) были проведены рядом авторов, в том числе и с полным учетом анизотропии ЭФВ в рамках стандартной теории сверхпроводимости [8]. Результаты различных расчетов также довольно существенно различаются (см. табл. 1).

Сверхпроводящие соединения на основе железа являются существенно более сложными физическими объектами и исследованы пока недостаточно полно, однако определенное сходство кристаллических и зонных структур этих соединений и сверхпроводников семейства MgB<sub>2</sub> позволяет предположить и общность их сверхпроводящих свойств. В частности, имеются прямые экспериментальные подтверждения двухщелевой сверхпроводимости как в системах Mg<sub>1-x</sub>Al<sub>x</sub>B<sub>2</sub> (обнаружение моды Леггетта в туннельных экспериментах [9]), так и в Ba(Fe<sub>1-x</sub>Co<sub>x</sub>)<sub>2</sub>As<sub>2</sub> (наблюдение очень сильной температурной зависимости плотности сверхпроводящего конденсата в Ba(Fe<sub>0.9</sub>Co<sub>0.1</sub>)<sub>2</sub>As<sub>2</sub> в точных оптических измерениях в терагерцевом диапазоне [10]). Отметим сильные температурные зависимости малых щелей, найденные в работе [9]: малые щели начинают сильно уменьшаться уже при температурах  $T \geq T^*$ , где  $T^*$  — температура, определяемая свойствами только  $\pi$ -зоны в отсутствие межзонного взаимодействия. В этом отношении результаты работы [9] заметно отличаются от результатов, полученных в упомянутых выше расчетах [8].

Особенно наглядным проявлением двухщелевой сверхпроводимости MgB<sub>2</sub> и Ba(Fe<sub>1-x</sub>Co<sub>x</sub>)<sub>2</sub>As<sub>2</sub> является явно аномальная температурная зависимость

электронной теплоемкости  $C_s(T)$  [11, 12], состоящая в том, что при относительно низких температурах,  $T^* < T_c$ , на кривых  $C_s(T)$  имеются особенности, которые естественно связать с размытыми межзонным взаимодействием скачками теплоемкости зон с малой щелью  $\Delta_{min}$  (в пределе независимых зон эти скачки трансформировались бы в реальные скачки теплоемкости этих зон при температурах  $T^* \sim T_{c\ min}^{(0)} = \Delta_{min}(0)/1.764$ ). Настоящая работа посвящена теоретическому обсуждению указанных экспериментальных результатов.

Для дальнейшего обсуждения мы приведем основные результаты расчетов *ab initio* характеристик ЭФВ в MgB<sub>2</sub>. Спектральная функция ЭФВ  $\alpha_{IJ}^2(\omega)F_{IJ}(\omega)$  в MgB<sub>2</sub> согласно расчетам *ab initio* практически полностью связана с макроскопическим колебанием плоскости атомов бора  $E2g$  и локализована в области частот  $\Omega_{E2g} \approx 70$  мэВ. Величины затравочных констант ЭФВ  $\lambda_{IJ}^0$  моноокристалла MgB<sub>2</sub>

$$\lambda_{IJ}^0 = 2 \int_0^\infty \alpha_{IJ}^2(\omega) F_{IJ}(\omega) d\omega / \omega \quad (1)$$

по данным различных авторов приведены в табл. 1 из работы [8].

Гораздо менее ясна ситуация с кулоновским псевдопотенциалом. Строгая методика расчетов *ab initio* кулоновских псевдопотенциалов  $\mu_{IJ}^*$  до настоящего времени отсутствует, поэтому в стандартной теории сильной связи величина кулоновского псевдопотенциала используется, фактически, как подгоночный параметр. В стандартной теории сильной связи дополнительная неопределенность связана еще и с тем, что на зависимость кулоновского вклада в уравнения от температуры существенно влияет произвольность энергии обрезания кулоновского интеграла. В двухзонных сверхпроводниках это приводит к существенным ошибкам, во всяком случае, в расчетах температурной зависимости малой щели при температурах  $T \geq T^*$ . Сравнение приведенных в табл. 1 параметров ЭФВ, полученных в расчетах *ab initio* разных авторов, показывает, что абсолютная точность вычисления констант ЭФВ составляет не более 0.1, что при межзонных константах  $\lambda_{I \neq J}^0 \sim \mu_{I \neq J}^*$  явно недостаточно, во всяком случае, для корректного вычисления энергий мод Леггетта  $\Omega_L(T)$  [15] и поведения малой щели  $\Delta_{min}(T)$  при температурах выше  $T^*$ . Так, например, на основании данных, полученных в расчетах ЭФВ *ab initio*, в работе [16] был сделан ошибочный вывод о том, что в соединении MgB<sub>2</sub> имеет место неравенство

$\Omega_L > 2\Delta_{min}$ , вследствие чего леггеттовский плазмон в MgB<sub>2</sub> не может быть обнаружен из-за сильного затухания, что явно противоречит экспериментальным результатам [9]. Кроме того, применять эти данные для теоретического анализа реальных поликристаллических образцов с примесями довольно затруднительно, так как межзонное рассеяние на дефектах кристаллической структуры приводит, фактически, к изменению как внутризонных, так и межзонных констант ЭФВ. В таких обстоятельствах более последовательно определять константы ЭФВ реальных слоистых сверхпроводников непосредственно из экспериментальных данных.

Для этой цели вполне достаточно использовать соотношения двухзонной теории БКШ при  $T \rightarrow 0$ , так как свойства сверхпроводников при низких температурах хорошо описываются формулами теории БКШ с константами ЭФВ (1) и энергией  $\Omega_c$ , определяемыми реальной спектральной функцией ЭФВ  $\alpha^2(\omega)F(\omega)$ . (Подробное обсуждение см. в книге [17].) Однако при конечных температурах свойства реальных сверхпроводников могут заметно отличаться от рассчитанных в модели БКШ. В частности, известным недостатком применения теории БКШ к сверхпроводникам с сильной связью является заведомо завышенное значение  $T_c$ . В подобных случаях для описания обычных сверхпроводников с сильной связью при конечных температурах успешно используется эмпирическая  $\alpha$ -модель [18], позволяющая применить теорию БКШ также и для расчетов свойств сверхпроводников с сильной связью. Согласно  $\alpha$ -модели в формулах теории БКШ следует заменить параметр  $\alpha = \Delta(0)/T_c$  его экспериментальным значением, оставляя при этом зависимость приведенной щели от приведенной температуры такой же, как в теории БКШ:

$$\delta(t) = \frac{\Delta(t)}{\Delta(0)} = \delta_0 \left( t = \frac{T}{T_c^{exp}} \right).$$

Известны также попытки применения рецепта  $\alpha$ -модели и к двухзонному случаю (так называемая двухзонная  $\alpha$ -модель [11]). Эта модель использовалась для расчетов электронной теплоемкости и основана на прямом применении  $\alpha$ -модели к каждой из зон в отдельности. Однако такая модель имеет весьма ограниченную область применения, так как совершенно не учитывает принципиально важные для двухзонных сверхпроводников межзонные взаимодействия.

Сверхпроводники с сильно локализованными в области высоких энергий,  $\Omega_c \gg T_c$ , спектральными функциями ЭФВ, такие как MgB<sub>2</sub>, являются наибо-

лее БКШ-подобными системами [17]. Электронные спектры таких сверхпроводников слабо размываются из-за малости рассеяния на тепловых фонарах и весьма близки к спектрам БКШ. Для таких двухзонных систем вполне возможно более корректное (учитывающее межзонные взаимодействия) обобщение  $\alpha$ -модели на двухзонный случай, основанное на анализе общих свойств двухзонных уравнений БКШ при конечных температурах и лежащего в основе эмпирической  $\alpha$ -модели приближения.

## 2. ОСНОВНЫЕ СВОЙСТВА ДВУХЗОННЫХ БКШ-СВЕРХПРОВОДНИКОВ

Двухзонные уравнения БКШ, определяющие сверхпроводящие щели  $\Delta_J(T)$ , имеют вид (см., например, [19])

$$\Delta_I(T) = \sum_{J=1,2} \lambda_{IJ} \Delta_J(T) \int_0^{\Omega_c} \frac{d\xi}{E_J(\xi)} \operatorname{th} \left( \frac{E_J(\xi)}{2T} \right), \quad (2)$$

$$E_J(\xi) = \sqrt{\xi^2 + \Delta_J^2(T)}, \quad (3)$$

где  $\Omega_c$  — характерная фононная частота, а  $E_J(\xi)$  — спектр квазичастиц в зоне  $J$ . Переформированные константы ЭФВ  $\lambda_{IJ}$  в формуле (2) выражаются через константы спаривания  $\tilde{\lambda}_{IJ}^0$ :

$$\tilde{\lambda}_{IJ}^0 = \lambda_{IJ}^0 - \mu_{IJ}^*, \quad (4)$$

где  $\lambda_{IJ}^0$  — затравочные константы ЭФВ, а  $\mu_{IJ}^*$  — кулоновские псевдопотенциалы,

$$\lambda_{IJ} = \frac{\tilde{\lambda}_{IJ}^0}{1 + \lambda_{II}^0 + \lambda_{I \neq J}^0}. \quad (5)$$

В большинстве случаев систему (2) удобно записать в виде [20]

$$\int_0^{\Omega_c} \frac{d\xi}{E_1(\xi)} \operatorname{th} \left( \frac{E_1(\xi)}{2T} \right) = \tilde{\lambda}_{22} - \tilde{\lambda}_{12}\theta(T), \quad (6)$$

$$\int_0^{\Omega_c} \frac{d\xi}{E_2(\xi)} \operatorname{th} \left( \frac{E_2(\xi)}{2T} \right) = \tilde{\lambda}_{11} - \frac{\tilde{\lambda}_{21}}{\theta(T)}, \quad (7)$$

$$\theta(T) \ln \theta(T) = - \left[ \tilde{\lambda}_{11} - \tilde{\lambda}_{22} - \delta n_{12}(T) \right] \theta(T) - \tilde{\lambda}_{12}\theta^2(T) + \tilde{\lambda}_{21}, \quad (8)$$

где  $\theta(T) = \Delta_2(T)/\Delta_1(T)$  — отношение щелей,  $\delta n_{12}(T) = n_1(T) - n_2(T)$  и  $n_J(T)$  — нормированное число нормальных возбуждений в зоне  $J$

$$n_J(T) = 2 \int_0^\infty \frac{d\xi}{E_J(\xi)} f \left[ \frac{E_J(\xi)}{T} \right], \quad (9)$$

$f[E_J(\xi)/T]$  — функция распределения квазичастиц со спектром  $E_J(\xi)$ , а  $\tilde{\lambda}_{IJ}$  — эффективные константы связи:

$$\begin{aligned} \tilde{\lambda}_{IJ} &= \frac{\lambda_{IJ}}{\lambda_{11}\lambda_{22} - \lambda_{12}\lambda_{21}} = \\ &= \frac{\lambda_{IJ}}{\lambda_{11}\lambda_{22}} \frac{1}{1 - \lambda_{12}\lambda_{21}/(\lambda_{11}\lambda_{12})}. \end{aligned} \quad (10)$$

Для самосогласованного решения можно выбирать любую пару уравнений системы (6)–(8) из соображений удобства. Эффективные константы связи  $\tilde{\lambda}_{IJ}$  (10) принципиально отличаются от привычных констант ЭФВ  $\lambda_{IJ}$  и оказываются весьма чувствительными к относительной величине межзонного взаимодействия, причем особенно это относится к межзонным константам. (Некоторое представление об их реальной величине дает табл. 2.)

Случай, когда детерминант системы (2)  $\lambda_{11}\lambda_{22} - \lambda_{12}\lambda_{21}$  стремится к нулю, особого интереса не представляет за исключением того, что в этом случае отношение щелей не зависит от температуры, как это легко показать из формулы (2):

$$\theta(T) = \lambda_{21}/\lambda_{11} = \lambda_{22}/\lambda_{12} = \text{const.}$$

В дальнейшем, учитывая данные об ЭФВ в слоистых сверхпроводниках [8], мы ограничимся рассмотрением только положительных эффективных констант связи  $\tilde{\lambda}_{IJ}$  (10).

При  $T = 0$  задача сводится к нахождению решения  $\theta(0)$  уравнения (8)

$$\tilde{\lambda}_{11} - \tilde{\lambda}_{22} = -\ln \theta(0) - \tilde{\lambda}_{12}\theta(0) + \tilde{\lambda}_{21}/\theta(0), \quad (11)$$

с последующим определением щелей  $\Delta_{1,2}(0)$  по формулам

$$\begin{aligned} \ln \frac{2\Omega_c}{\Delta_1(0)} &= \tilde{\lambda}_{22} - \tilde{\lambda}_{12}\theta(0), \\ \ln \frac{2\Omega_c}{\Delta_2(0)} &= \tilde{\lambda}_{11} - \frac{\tilde{\lambda}_{21}}{\theta(0)}. \end{aligned} \quad (12)$$

Остановимся на некоторых общих свойствах двухзонных уравнений (6), (7), (8) при конечных температурах. Для определенности будем считать в дальнейшем, что  $\Delta_1(0) > \Delta_2(0)$ . Легко показать,

**Таблица 2.** Затравочные и эффективные параметры двухзонной теории БКШ слабосвязанных сверхпроводников 1, 2 и слоистого сверхпроводника  $Mg_{1-x}Al_xB_2$  с  $T_c \approx 32$  К ( $MgB_2$ ) [20]. Пример образца  $MgB_2$  показывает сильную зависимость параметра  $\alpha_1 = \Delta_1(0)/T_c$  от межзонного взаимодействия

	$\lambda_{11}^0$	$\lambda_{22}^0$	$\lambda_{12}^0$	$\lambda_{21}^0$	$\mu^*$	$\theta(0)$	$\tilde{\lambda}_{11}$	$\tilde{\lambda}_{22}$	$\tilde{\lambda}_{12}$	$\tilde{\lambda}_{21}$	$\alpha_1$	$\alpha_1^{exp}$
1	0.4	0.2	0.2	0.15	0.1	0.29	16.2	6.4	5.4	3.2	2.04	2.04
2	0.4	0.12	0.2	0.15	0.1	0.29	13.9	5.2	0.93	2.62	1.82	1.82
$MgB_2$	0.82	0.43	0.124	0.157	0.12	0.29	5.12	2.78	0.03	0.33	1.78	3.08
« $MgB_2$ »	—	—	—	—	—	0.29	—	—	5.107	0.33	3.08	—

что в этом случае из-за различного числа квазичастиц (9) в зонах ( $n_1(t) < n_2(t)$ ) отношение щелей  $\theta(T)$  уменьшается с температурой до минимального значения

$$\theta(T_c) = \frac{1}{2\tilde{\lambda}_{12}} \times \left[ -\tilde{\lambda}_{11} + \tilde{\lambda}_{22} + \sqrt{\left(\tilde{\lambda}_{11} - \tilde{\lambda}_{22}\right)^2 + 4\tilde{\lambda}_{12}\tilde{\lambda}_{21}} \right] \quad (13)$$

при критической температуре  $T_c$ , определяемой формулой

$$\ln \frac{2\gamma_E\Omega_c}{\pi T_c} = \frac{1}{2} \times \left[ \tilde{\lambda}_{11} + \tilde{\lambda}_{22} - \sqrt{\left(\tilde{\lambda}_{11} - \tilde{\lambda}_{22}\right)^2 + 4\tilde{\lambda}_{12}\tilde{\lambda}_{21}} \right]. \quad (14)$$

(Отметим, что знаки перед квадратными корнями в этих формулах соответствуют случаю  $\tilde{\lambda}_{IJ} > 0$ , в противном случае их следует изменить на противоположные.)

Формулы (11)–(14) позволяют определить важные параметры теории — отношения щелей  $\Delta_{1,2}(0)$  к критической температуре  $\alpha_J = \Delta_J(0)/T_c$ :

$$\alpha_1 = \alpha_0 e^{\Lambda_1}, \quad \alpha_2 = \alpha_1 \theta(0), \quad (15)$$

$$\Lambda_1 = \tilde{\lambda}_{12}\theta(0) - \frac{1}{2} \left[ \sqrt{\left(\tilde{\lambda}_{12}\right)^2 + 4\tilde{\lambda}_{12}\tilde{\lambda}_{21}} - \tilde{\lambda}_{12} \right], \quad (16)$$

где  $\alpha_0 = \pi/\gamma_E \approx 1.764$ ,  $\tilde{\lambda}_{12}$  — правая часть выражения (11). Найденные выше параметры  $\Lambda_{1,2}$  (и  $\alpha_J$ ) зависят только от величины  $\theta(0)$  и эффективных межзонных констант  $\tilde{\lambda}_{IJ}$ .

Остановимся на возможной величине параметра  $\alpha_1$ , которой в обычных сверхпроводниках принято характеризовать тип связи. Формулу (16) удобно представить в более наглядном виде:

$$\Lambda_1 = \tilde{\lambda}_{12} \{ \theta(0) - \theta(T_c) \} > 0. \quad (17)$$

Как легко видеть, даже при относительно слабом межзонном взаимодействии, когда параметр  $\theta(0)$  зависит, в основном, от внутризонных констант связи, а  $\theta(T_c) \sim \lambda_{21}$ , при  $\lambda_{12} > \lambda_{21}$  отношение щели  $\Delta_1(0)$  к критической температуре  $\alpha_1$  может оказаться довольно большим даже для сверхпроводников со слабой связью (табл. 2). Таким образом, в отличие от обычных сверхпроводников, значения  $\alpha_1 > 1.764$  в двухзонах сверхпроводниках вовсе не свидетельствуют однозначно о сильном ЭФВ.

Параметры  $\theta(0)$ ,  $\tilde{\lambda}_{12}$ ,  $\tilde{\lambda}_{21}$  полностью определяют и двухзональные уравнения БКШ для приведенных щелей  $\delta_J(t) = \Delta_J(t)/\Delta_J(0)$  при конечных температурах:

$$\ln \delta_1(t) = -n_1(t) - \tilde{\lambda}_{12}\theta(0) \left\{ 1 - \frac{\delta_2(t)}{\delta_1(t)} \right\}, \quad (18)$$

$$\ln \delta_2(t) = -n_2(t) - \frac{\tilde{\lambda}_{21}}{\theta(0)} \left\{ 1 - \frac{\delta_1(t)}{\delta_2(t)} \right\}, \quad (19)$$

$$n_J(t) = 2 \int_0^\infty \frac{d\omega}{\varepsilon_J(\omega)} f \left[ \frac{\alpha_J \varepsilon_J(\omega)}{t} \right], \quad (20)$$

$$\varepsilon_J(\omega) = \sqrt{\omega^2 + \delta_J^2(t)}, \quad (21)$$

где  $\varepsilon_J(\omega)$  — приведенный спектр сверхпроводника,  $t = T/T_c$  — приведенная температура. Уравнения (18), (19) намного проще исходной системы (2) и позволяют установить общие зависимости приведенных щелей  $\delta_{1,2}(t)$  от межзонных взаимодействий. Величины  $\alpha_{1,2}$  и  $\tilde{\lambda}_{12}$ ,  $\tilde{\lambda}_{21}$  характеризуют в уравнениях (18), (19) соответственно внутризонные и межзонные флуктуации. Рассмотрим вклад межзонных флуктуаций. Отношение  $\delta_2(t)/\delta_1(t) = \theta(t)/\theta(0) < 1$ , оно убывает с ростом температуры, поэтому вклад межзонных флуктуаций уменьшает щель  $\delta_1(t)$  и увеличивает  $\delta_2(t)$ , но не может при этом превысить внутризонный вклад в формуле (19), вследствие чего при больших межзонных константах,  $\lambda_{21} \gg \lambda_{22}$ ,

щель  $\delta_2(t) \rightarrow \delta_1(t)$ ,  $\alpha_1 \rightarrow \alpha_0$  (17) и обе приведенные щели приближаются к  $\delta_0(t)$  — решению стандартного уравнения БКШ (причем тем быстрее, чем меньше взаимодействие  $\lambda_{12}$ ). При этом приведенные щели  $\delta_{1,2}(t)$  при всех температурах меньше, чем  $\delta_0(t)$ , а их температурные зависимости при  $t \rightarrow 1$  слабее.

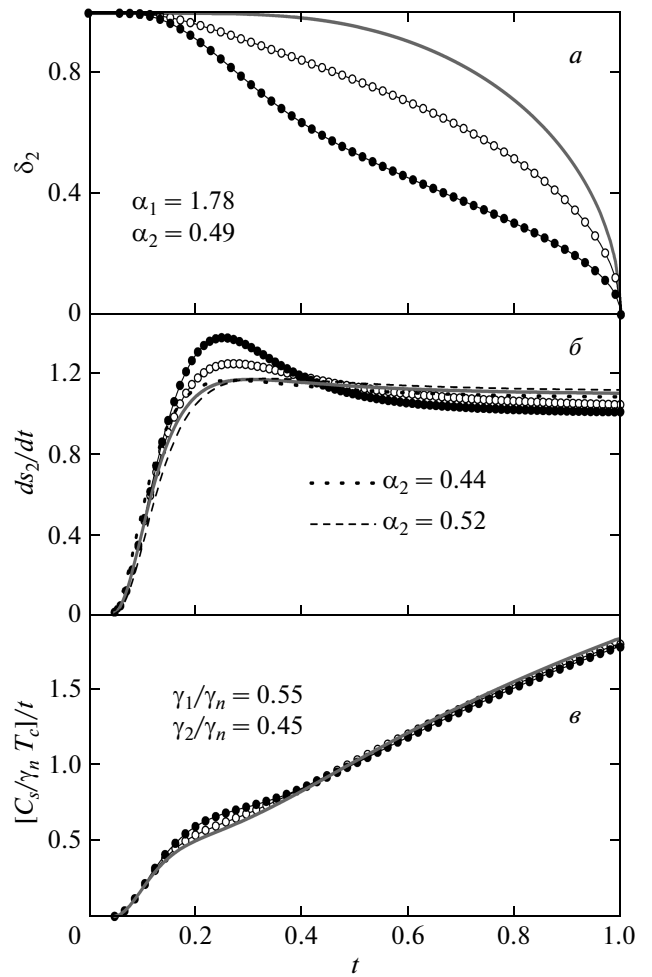
В табл. 2 приведены данные расчетов параметров сверхпроводников со слабой связью (1), (2) и слоистого сверхпроводника системы  $Mg_{1-x}Al_xB_2$  с  $T_c = 32$  К [20] ( $MgB_2$ ). Пример « $MgB_2$ » показывает зависимость величины  $\alpha_1$  (и  $T_c$ ) от взаимодействия  $\tilde{\lambda}_{12}$ .

Зависимость приведенной щели  $\delta_2(t)$  от величины межзонных констант  $\tilde{\lambda}_{IJ}$  показана на рис. 1a на примере сверхпроводников (A) и (B) с одинаковыми отношениями щелей к критической температуре  $\alpha_{1,2}$ , но с различными межзонными взаимодействиями. (Приведенные щели  $\delta_1(t)$  для малых  $\tilde{\lambda}_{12}$  практически совпадают с  $\delta_0(t)$  и на рисунке не показаны.) Для сравнения на рисунке показана приведенная щель в  $2Ba$ -модели, в которой обе щели полагают равными  $\delta_0(t)$ . На рис. 1a ясно видна основная роль межзонных взаимодействий.

В этой части работы мы исследуем зависимость свойств двухзонных сверхпроводников от межзонного взаимодействия на примере наиболее простой термодинамической функции — электронной теплоемкости. Некоторые другие свойства двухзонных сверхпроводников — оптические характеристики и свойства коллективных возбуждений (мод Леггетта [15]) — мы рассмотрим в следующей части работы.

Температурную зависимость теплоемкости сверхпроводника  $C_s$  обычно характеризуют нормированной функцией  $C_s(T)/\gamma_n T_c$ . Вычисление теплоемкости двухзонного сверхпроводника проводится обычным образом [1, 18]. Записывая выражения для энтропии  $S_J(T)$  (или нормированной энтропии  $s_J(t) \equiv S_J(t)/\gamma_J T_c$ ) свободного ферми-газа со спектром (7), (21)

$$S_J(T) = 2N_J(0) \int_{-\infty}^{\infty} d\xi \times \\ \times \left\{ \frac{E_J(\xi)}{T} f(E_J(\xi)) - \ln [f(-E_J(\xi))] \right\}, \quad (22)$$



**Рис. 1.** *a)* Зависимость приведенных щелей  $\delta_2(t)$  в БКШ-сверхпроводниках А и В с межзонными взаимодействиями:  $\tilde{\lambda}_{12} = 0.05$ ,  $\tilde{\lambda}_{21} = 0.1$  для А ( $\bullet$ ),  $\tilde{\lambda}_{12} = 0.22$ ,  $\tilde{\lambda}_{21} = 0.8$  для В ( $\circ$ ). Параметры  $\alpha_{1,2} = \Delta_{1,2}(0)/T_c$  для них одинаковы:  $\alpha_1 = 1.78$  и  $\alpha_2 = 0.49$ . Светлой сплошной линией показан вид  $\delta_2(t)$  в  $2Ba$ -модели. *б)* Вид нормированной электронной теплоемкости зоны с малой щелью  $d\delta_2(t)/dt$ . Параметры и обозначения те же, что и на рис. *a*. Пунктирной и штриховой линиями показаны изменения вида соответствующей кривой в  $2Ba$ -модели при уменьшении и увеличении малой щели. *в)* Вид нормированной электронной теплоемкости сверхпроводников А и В в тех же обозначениях

$$s_J(t) = \frac{3\alpha_J}{\pi^2} \int_{-\infty}^{\infty} d\omega \left\{ \frac{\alpha_J \varepsilon_J(\omega)}{t} f\left(\frac{\alpha_J \varepsilon_J(\omega)}{t}\right) - \right. \\ \left. - \ln \left[ f\left(-\frac{\alpha_J \varepsilon_J(\omega)}{t}\right) \right] \right\}, \quad (23)$$

где  $\gamma_J = 2\pi^2 N(0)/3$  — коэффициент нормальной электронной теплоемкости зоны  $J$  ( $\gamma_n = \gamma_1 + \gamma_2$ ), находим

$$\frac{1}{t} \frac{C_s(t)}{\gamma_n T_c} = \frac{d}{dt} \left\{ \frac{\gamma_1}{\gamma_n} s_1(t) + \frac{\gamma_2}{\gamma_n} s_2(t) \right\}. \quad (24)$$

Зависимости электронной теплоемкости от межзонного взаимодействия показаны на рис. 1б, в. Для сравнения на рисунках приведены соответствующие кривые в  $2B\alpha$ -модели [11], согласно которой спектр  $\varepsilon_J(\omega)$  в (23) положен равным  $\varepsilon_J(\omega) = \sqrt{\omega^2 + \delta_0^2(t)}$ . Рисунок 1б наглядно демонстрирует все особенности поведения теплоемкости двухзонного сверхпроводника. На кривой в области температуры  $T^*(\alpha_2)$  имеется особенность, представляющая размытый в меру взаимодействия  $\tilde{\lambda}_{21}$  скачок электронной теплоемкости зоны с малой щелью. В пределе  $\tilde{\lambda}_{21} \gg 1$  (в котором, как мы убедились,  $\delta_2(t) \rightarrow \delta_0(t)$ , что соответствует  $2B\alpha$ -модели) особенность стягивается максимально. (Таким же образом в меру взаимодействия  $\tilde{\lambda}_{12}$  вблизи  $T_c$  размывается и скачок от первой зоны.) Как следует из (24), особенность от зоны с малой щелью наиболее ясно проявляется при относительно большом весе зоны  $\gamma_2/\gamma_n$  и  $\theta(0) \ll 1$  (т. е. при  $T^* \ll T_c$ ).

В заключение этого раздела кратко остановимся на применении  $2B\alpha$  для определения щелей из температурной зависимости теплоемкости. К достоинствам  $2B\alpha$  относят возможность правильного определения величины малой щели ( $\alpha_2$ ) по низкотемпературному участку экспериментальной кривой, после чего большая щель ( $\alpha_1$ ) определяется по участку кривой вблизи  $T_c$ , фактически, по скачку теплоемкости. Его значение в  $2B\alpha$ -модели легко найти прямым вычислением нормированной теплоемкости (23) в точке перехода  $\tilde{C}_s$ , используя известную зависимость  $\delta_0(t \rightarrow 1)$  в теории БКШ [21]:

$$\tilde{C}_{sJ} = 1 + \frac{12}{7\zeta(3)} \left( \frac{\alpha_J}{\alpha_0} \right)^2, \quad (25)$$

$$\tilde{C}_s = 1 + 1.426 \left( \frac{\alpha_1}{\alpha_0} \right)^2 \frac{\gamma_1 + \gamma_2 \theta^2(0)}{\gamma_n}. \quad (26)$$

При очень низких температурах  $T \ll T^*(\alpha_2)$  щели  $\delta_{1,2}$ , как и  $\delta_0$ , экспоненциально слабо зависят от температуры  $\delta_1(t) \approx \delta_2(t) \approx \delta_0(t) \approx 1$  и согласно (18), (19) зоны действительно можно рассматривать как невзаимодействующие. Только в этом смысле  $2B\alpha$ -модель «теоретически» правильно описывает температурную зависимость теплоемкости (см. рис. 2, 3, на которых символы представляют

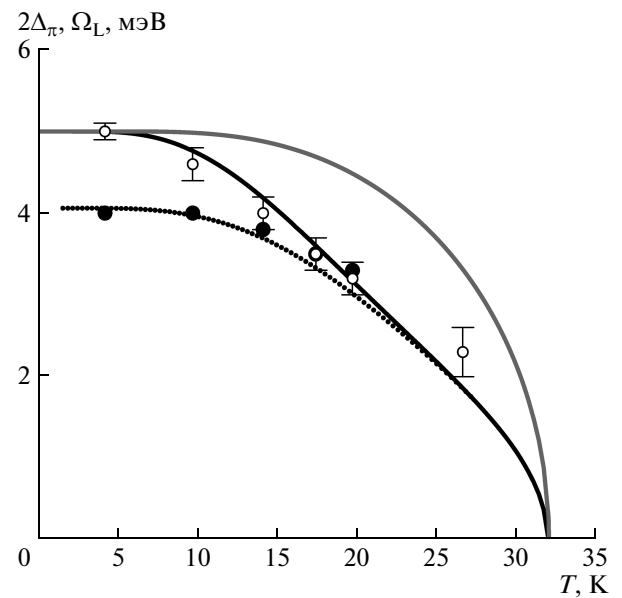


Рис. 2. Зависимости  $2\Delta_\pi(T)$  и  $\Omega_L(T)$   $Mg_{1-x}Al_xB_2$  ( $T_c = 32$  К) [9] (соответственно светлые и темные символы), рассчитанные в  $\alpha'$ -приближении (соответственно сплошная и пунктирная линии) и в  $2B\alpha$ -модели (светлая сплошная линия)

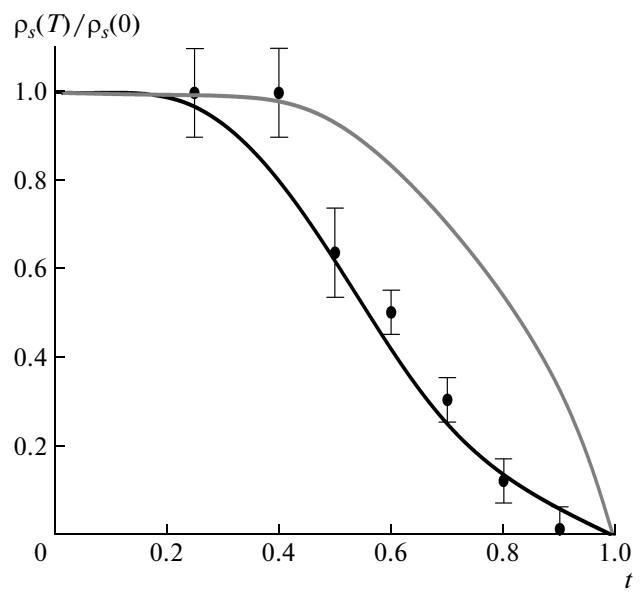


Рис. 3. Зависимость нормированной плотности сверхпроводящего конденсата в сверхпроводнике  $Ba(Fe_{0.9}Co_{0.1})_2As_2$  [10] (точки), рассчитанная в  $\alpha'$ -приближении для  $\lambda_{12} \sim \tilde{\lambda}_{21} \sim 0.1$  (сплошная линия) и в  $2B\alpha$ -модели (светлая сплошная линия)

точность, которая могла быть получена в эксперименте). Однако для аппроксимации экспериментальной кривой в более широком интервале температур вплоть до  $T \sim T^*$  малую щель (или  $\alpha_2$ ) в  $2B\alpha$ -модели придется сместить (вообще говоря, уменьшить) относительно точного ее значения: см. рис. 2, на котором пунктирной линией показана соответствующая зависимость при уменьшении малой щели (для  $\theta(0) = 0.23$ ). При этом даже такая аппроксимация в рамках экспериментальной точности удастся только в случае относительно сильного межзонного взаимодействия (или в достаточно «грязных» сверхпроводниках).

Вследствие более слабой, по сравнению с  $\delta_0(t)$ , температурной зависимости  $\delta_{1,2}(t)$ , скачок теплоемкости в двухзонном БКШ-сверхпроводнике всегда оказывается меньше, чем в  $2B\alpha$ -модели. Таким образом, для аппроксимации участка кривой вблизи  $T_c$  в  $2B\alpha$ -модели придется уменьшить и большую щель относительно ее точного значения. Формально наиболее точно определить щели в  $2B\alpha$ -модели можно лишь для взаимодействия  $\lambda_{21} \gg \lambda_{22}$ . В зависимости от экспериментальной точности  $2B\alpha$  кривая может неплохо аппроксимировать экспериментальную и при более мягком условии  $\lambda_{21} \sim \lambda_{22}$ .

### 3. СВОЙСТВА СЛОИСТЫХ СВЕРХПРОВОДНИКОВ

Как уже обсуждалось во Введении, для определения параметров ЭФВ реальных сверхпроводников из экспериментальных данных достаточно использовать перенормированные уравнения БКШ при  $T = 0$ . Однако свойства реальных сверхпроводников при конечных температурах могут заметно отличаться от рассчитанных в модели БКШ. В частности, известным недостатком применения модели БКШ к сверхпроводникам с сильной связью является заведомо завышенное значение  $T_c$  (и, соответственно, заниженное значение величины  $\alpha$ ), см. табл. 2. Тем не менее для практических расчетов свойств обычных сверхпроводников с сильной связью теория БКШ успешно применяется с учетом эмпирического рецепта, известного как  $\alpha$ -модель [18]. Например, для вычисления электронной теплоемкости в  $\alpha$ -модели в формуле БКШ (23) следует использовать спектр  $\varepsilon(\omega) = \sqrt{\omega^2 + \delta_0^2(t)}$  и положить  $\alpha = \alpha^{exp}$ .

Успех практического применения эмпирической  $\alpha$ -модели, по нашему мнению, заключается в том, что ее результаты могут быть получены теоретиче-

ски формальным введением в ядро уравнения БКШ корректирующего множителя  $k_\alpha = T_c^{exp}/T_c^0$ :

$$\ln \Delta(T)/\Delta(0) = -2 \int_0^{\Omega_c} \frac{d\xi}{E_J(\xi)} f \left\{ \frac{T_c^{exp}}{T_c^0} \frac{E_J(\xi)}{T} \right\}, \quad (27)$$

гарантирующего правильное значение  $T_c = T_c^{exp}$ . При этом БКШ-подобное уравнение (27) в точности сохраняет вид уравнения БКШ для приведенной щели  $\delta(t)$  от приведенной температуры  $t = T/T_c^{exp}$ . Такой подход, в отличие от эмпирической  $\alpha$ -модели, уместно назвать  $\alpha$ -приближением.

В двухзонном случае  $\alpha$ -приближение (27) также обеспечивает правильную величину  $T_c$ , сохранив вид уравнений (18), (19). Однако такой подход не является универсальным из-за разной величины поправок сильной связи в зонах. Это легко показать на примере почти независимых ( $\tilde{\lambda}_{12} \rightarrow 0, \tilde{\lambda}_{21} \rightarrow 0$ ) зон сильной и слабой связи  $\Delta_1(0) \gg \Delta_2(0)$ . В этом случае  $\alpha_1 \rightarrow \alpha_0, \alpha_2 \rightarrow \alpha_0 (T_{c2}^0/T_{c1}^0)$ . Это означает, что для приведенных температур  $t \geq t^* = T_{c2}^0/T_{c1}^0 < 1$  щель  $\delta_2(t) \rightarrow 0$ . Таким образом, в реальном масштабе температур критические температуры независимых зон  $T_{c1}$  и  $T_{c2} \approx T^*$  принимают значения  $T_{c1} = T_c^{exp}$  и  $T_{c2} = T_{c2}^0 (T_c^{exp}/T_{c1}^0) \ll T_{c2}^0$ . Этот пример показывает, что в уравнениях (2) в духе  $\alpha$ -приближения необходимо учитывать два поправочных коэффициента вида  $k_{1,2} = \beta_{1,2}(\lambda_{IJ})k_\alpha$ , с одной стороны, обеспечивающих правильное значение  $T_c = T_c^{exp}$ , а, с другой стороны, обеспечивающих правильное поведение зоны слабой связи в пределе независимых зон. В уравнениях для приведенных щелей (18), (19) это приведет к переопределению  $\alpha_{1,2}$ , при этом параметры  $\alpha_{1,2}$  уже не будут иметь смысла отношения щелей к критической температуре, так как  $\alpha_2/\alpha_1 \neq \theta(0)$ , и должны определяться самосогласованно. Спектральные функции  $\varepsilon_J(\omega) = \sqrt{\omega^2 + \delta_J^2(t)}$ , найденные с помощью двухзонных БКШ-подобных уравнений, могут быть использованы для обобщения  $\alpha$ -модели на случай двух зон. В общем случае такую программу реализовать довольно сложно. Однако для зон сильной и слабой связи в пределе  $\tilde{\lambda}_{12} \ll 1$  поправочные коэффициенты легко находятся:  $k_1 = k_\alpha, k_2 = 1$ . При этом  $\alpha_1 = \alpha_0, \alpha_2 = \alpha_2^{exp}$  и критические температуры в пределе независимых зон оказываются равными  $T_{c1} = T_c^{exp}$  и  $T_{c2} = T_{c2}^0$ . (Такой подход мы применяли при расчете температурных зависимостей плотности сверхпроводящего конденсата и лондоновской глубины проникновения в сверхпроводнике  $\text{Ba}(\text{Fe}_{0.9}\text{Co}_{0.1})_2\text{As}_2$  [22].)

Рассмотренный пример легко обобщить и на конечные  $\tilde{\lambda}_{12}$ , переопределяя параметры в уравнениях (18), (19):  $\alpha_2 = \alpha_2^{exp}$  и  $\alpha_1 \rightarrow \alpha'$ , где  $\alpha'$  определяется уравнением (15) и условием самосогласования  $\alpha'_1 \theta'(0) = \alpha_2^{exp}$ . При этом преобразовании параметр  $t$  сохраняет смысл приведенной температуры ( $\delta_{1,2}(t=1) = 0$ ,  $t = T/T_c^{exp}$ ). (Отметим, что уравнения в  $\alpha$ - и  $\alpha'$ -приближениях сохраняют вид уравнений БКШ, свойства которых подробно рассмотрены в разд. 2.) БКШ-подобные уравнения в  $\alpha'$ -приближении описывают двухзонные сверхпроводники, в которых связь в одной из зон можно считать слабой. К таким системам как раз и относятся практически все слоистые сверхпроводники.

Обобщенную  $\alpha$ -модель в  $\alpha'$ -приближении мы применили для теоретического анализа результатов тунNELного исследования двухщелевой сверхпроводимости в системе  $Mg_{1-x}Al_xB_2$  [9]. Затравочные константы ЭФВ  $\lambda_{IJ}^0$  были вычислены нами для  $\Omega_c = 67.76$  мэВ и  $\mu_{IJ}^* \approx 0.12$  по экспериментальным значениям  $\Delta_{1,2}(0)$ ,  $\theta(T \rightarrow T_c)$  и энергии леггеттовского плазмона  $\Omega_L$ , определяемой уравнением Леггетта [15] (28), (29) при  $T \rightarrow 0$

$$\begin{aligned} \Omega_L^2(t) = & 4\Delta_1(0)\Delta_2(0)\delta_1(t)\delta_2(t) \times \\ & \times \left\{ \tilde{\lambda}_{12}I_1^{-1}(\Omega_L, t) + \tilde{\lambda}_{21}I_2^{-1}(\Omega_L, t) \right\}, \end{aligned} \quad (28)$$

$$\begin{aligned} I_J(\Omega_L, t) = & \\ & = \delta_J^2(t) \int_0^\infty \frac{d\omega}{\varepsilon_J(\omega)} \frac{\operatorname{th}(\alpha_J\varepsilon_J(\omega)/2t)}{\varepsilon_J^2(\omega) - (\Omega_L/2\Delta_J(0))^2} \end{aligned} \quad (29)$$

практически однозначно [20]. (Затравочные константы ЭФВ  $\lambda_{IJ}^0$  для образцов системы  $Mg_{1-x}Al_xB_2$  с  $T_c \approx 32$  К и  $T_c \approx 40$  К приведены в табл. 2, 4.) Расчеты в  $\alpha'$ -приближении показали очень хорошее совпадение с экспериментом [9] не только температурных зависимостей обеих щелей  $\Delta_{1,2}(T)$ , но и энергии моды Леггетта  $\Omega_L(T)$ , чрезвычайно чувствительной как к межзонному, так и к внутризонному взаимодействиям (см. рис. 2).

Такой же метод мы использовали в расчете температурной зависимости плотности сверхпроводящего конденсата в сверхпроводнике  $Ba(Fe_{0.9}Co_{0.1})_2As_2$  с  $T_c \approx 20$  К [10]:  $\rho_s(t) = \rho_{s1}(t) + \rho_{s2}(t)$ , где  $\rho_{sJ}(t)$  — плотность сверхпроводящего конденсата в зоне  $J$  [22]:

$$\begin{aligned} \rho_{sJ}(t) = & (\omega_{pl}^2)_J \left\{ \frac{\delta_J(t)}{\tilde{\gamma}_{imp}^J} \operatorname{th} \frac{\alpha_J \delta_J(t)}{2t} - \right. \\ & \left. - \frac{2}{\pi} \delta_J^2(t) \int_0^\infty \frac{d\omega}{\varepsilon_J(\omega)} \frac{\operatorname{th}(\alpha_J \varepsilon_J(\omega)/t)}{\omega^2 + (\tilde{\gamma}_{imp}^J)^2} \right\}, \end{aligned} \quad (30)$$

$(\omega_{pl}^2)_J$  — квадрат плазменной частоты и  $\tilde{\gamma}_{imp}^J = \gamma_{imp}^J/\Delta_J(0)$  — нормированная скорость релаксации в зоне  $J$ . Как мы уже упоминали, пникиды/халькогениды железа изучены еще недостаточно полно. Для них данные о виде взаимодействия в настоящее время практически отсутствуют. Оптические измерения [10] позволяют надежно определить только величину малой щели  $\Delta_2(0) \approx 15$  см<sup>-1</sup>. Большая щель определяется гораздо менее точно:  $\Delta_1(0) \approx 30\text{--}35$  см<sup>-1</sup>. Однако из-за относительной малости  $(\omega_{pl}^2)_1$  [22] это обстоятельство не сильно влияет на вид температурной зависимости плотности сверхпроводящего конденсата. Результаты расчетов показаны на рис. 3. Наши расчеты показали, что в сверхпроводнике  $Ba(Fe_{0.9}Co_{0.1})_2As_2$  имеет место очень слабое межзонное взаимодействие  $\tilde{\lambda}_{12} \sim \tilde{\lambda}_{21} \sim 0.1$ , вследствие чего в этом сверхпроводнике возможно обнаружение низкочастотного леггеттовского плазмона с энергией  $\Omega_L(0) \geq 12$  см<sup>-1</sup>. К сожалению, из-за сильной чувствительности  $\Omega_L$  к величине щели  $\Delta_1(0)$  (см. (28)) сделать более точную оценку энергии плазмона не удается.

Большинство слоистых сверхпроводников исследовано еще менее подробно, и их характеристики определяются косвенными методами с использованием теоретических моделей; в частности, для определения щелей  $\Delta_{1,2}(0)$  по известной зависимости  $C_s(T)$  применялась 2Ba-модель [11, 12]. В этих работах было продемонстрировано хорошее соответствие экспериментальных зависимостей  $C_s(T)$  сверхпроводников  $Mg^{11}B_2$  ( $T_c = 38.7$  К) [11] и  $Ba(Fe_{0.95}Co_{0.075})_2As_2$  ( $T_c = 21.4$  К) [12] с рассчитанными в 2Ba-модели во всем диапазоне температур. Как уже обсуждалось в разд. 2, такое хорошее соответствие в двухзонной модели БКШ (и в обобщенной  $\alpha$ -модели) может наблюдаться при условии  $\lambda_{21} \geq \lambda_{22}$ , т. е. заведомо в некотором диапазоне констант ЭФВ. Расчет электронной теплоемкости таких сверхпроводников позволяет оценить возможности применения обобщенной  $\alpha$ -модели для анализа реальных экспериментальных зависимостей  $C_s(T)$ .

Результаты наших расчетов теплоемкости  $Mg^{11}B_2$  и  $Ba(Fe_{0.95}Co_{0.075})_2As_2$  (в табл. 3, 4 для краткости  $Ba(FeCo)As$ ) в обобщенной  $\alpha$ -модели показаны на рис. 4 и также приведены в табл. 3, 4.

**Таблица 3.** Параметры сверхпроводников  $Mg^{11}B_2$  и  $Ba(Fe_{0.95}Co_{0.075})_2As_2$  ( $Ba(FeCo)As$ ), определенные по температурной зависимости электронной теплоемкости соответственно в обобщенной  $\alpha$ -модели ( $\alpha'$ ) и двухзонной  $\alpha$ -модели ( $2B\alpha$ ) [11, 12]

Образец	Приближение	$\tilde{\lambda}_{12}^{max}$	$\tilde{\lambda}_{21}^{min}$	$\alpha_1(\tilde{\lambda}_{12}^{max}, \tilde{\lambda}_{21}^{min})$	$\alpha_2(\tilde{\lambda}_{12}^{max}, \tilde{\lambda}_{21}^{min})$	$\Delta_1$ , мэВ	$\Delta_2$ , мэВ
$Mg^{11}B_2$ [11]	$\alpha'$	1.9	2.75	2.3088	0.5997	7.77	2.0
	$2B\alpha$	—	—	2.2	0.6	7.337	2.0
$Ba(FeCo)As$ [12]	$\alpha'$	0.45	0.25	2.4875	0.9748	4.587	1.797
	$2B\alpha$	—	—	2.2	0.95	4.057	1.752

**Таблица 4.** Затравочные константы ЭФВ сверхпроводников  $Mg^{11}B_2$  и  $Ba(Fe_{0.95}Co_{0.075})_2As_2$  ( $Ba(FeCo)As$ ), определенные по температурной зависимости электронной теплоемкости в обобщенной  $\alpha$ -модели. Для сравнения в таблице представлены данные, полученные из туннельных измерений  $MgB_2$  [20]

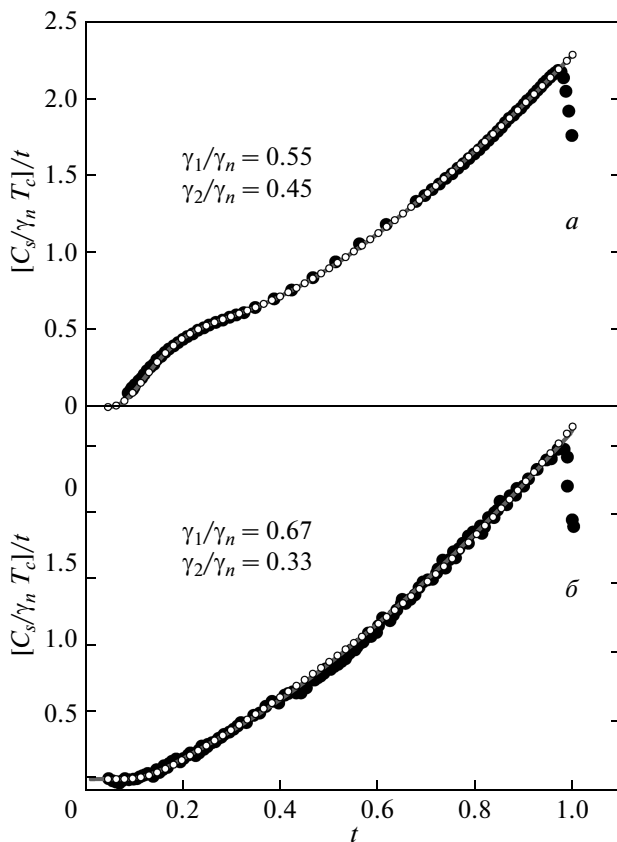
Образец	Аппроксимация	$\lambda_{11}^0$	$\lambda_{22}^0$	$\lambda_{12}^0$	$\lambda_{21}^0$	$\mu^*$	$\Omega_c$ , мэВ	$\theta(0)$	$T_c$ , К
$MgB_2$ [20]	—	0.921	0.43	0.124	0.157	0.12	67.76	0.25	40.5
$Mg^{11}B_2$ [11]	1	0.78	0.228	0.205	0.209	0.12	67.76	0.26	38.7
	2	0.767	0.204	0.124	0.22				
$Ba(FeCo)As$ [12]	1	0.889	0.531	0.204	0.157	0.12	$\approx 30.0$	0.39	21.4
	2	0.85	0.289	0.128	0.275				

В пределах экспериментальных погрешностей кривые теплоемкости, представленные в работах [11] и [12], хорошо аппроксимируются семейством кривых с эффективными константами взаимодействия  $\tilde{\lambda}_{12} \leq \tilde{\lambda}_{12}^{max}$ ,  $\tilde{\lambda}_{21} \geq \tilde{\lambda}_{21}^{min}$  и параметрами  $\alpha_{1,2}$ , изменяющимися от указанных в табл. 3 (аппроксимация 1) до их значений в  $2B\alpha$ -модели. Последние практически достигаются при межзонном взаимодействии  $\tilde{\lambda}_{12} \sim 0.1 \ll \tilde{\lambda}_{21} \sim 3.5$  (аппроксимация 2). По формальным критериям аппроксимации параметры аппроксимации 2 близки к оптимальным. На рис. 4 значения аппроксимации 2 показаны светлыми символами. Кривые аппроксимации 1, тождественно совпадающие с результатами  $2B\alpha$ -модели (светлые кривые), на этом рисунке не показаны.

Сравнение щелей (табл. 3)  $\Delta_{1,2}(0)$  в  $Mg^{11}B_2$  ( $T_c = 38.7$  К) и в  $MgB_2$  ( $T_c = 40.5$  К),  $\Delta_1(0) \approx \approx 10$  мэВ,  $\Delta_2(0) \approx 2.6$  мэВ [9] указывает на различную степень дефектности сравниваемых образцов. Однако такое различие не может быть объяснено упругим межзонным рассеянием на примесях, которое должно увеличивать величину малой щели [3]. Скорее это можно связать с изменением электрон-фононного рассеяния из-за дефектов кристаллической структуры. Малая щель в

$Ba(Fe_{0.925}Co_{0.075})_2As_2$  с  $T_c = 21.4$  К хорошо соглашается с надежно определенной из оптических измерений [10]  $Ba(Fe_{0.9}Co_{0.1})_2As_2$  с  $T_c \approx 20$  К  $\Delta_2(0) \approx \approx 15$  см<sup>-1</sup> (1.85 мэВ). Большая щель в оптических измерениях определяется менее точно:  $\Delta_1(0) \geq \geq 30$  см<sup>-1</sup> (3.9 мэВ).

Использованный нами метод расчета позволяет определить не только эффективные межзонные константы, но и все константы ЭФВ в исследованных образцах. Полагая  $\Omega_c = 67.76$  мэВ ( $Mg^{11}B_2$ ),  $\Omega_c \approx 30$  мэВ ( $Ba(FeCo)As$ ) [23],  $\mu^* = 0.12$  и используя формулы (10), (8), (2), мы можем определить все константы ЭФВ  $\lambda_{IJ}^0$  (см. табл. 4). В табл. 4 для сравнения приведены данные образца  $MgB_2$  с  $T_c = 40.5$  К, определенные нами из туннельных экспериментов [20]. Отметим, что найденные нами константы ЭФВ  $Mg^{11}B_2$  весьма близки к полученным в расчетах *ab initio* (см. табл. 1). Сравнение констант ЭФВ, найденных по аппроксимациям 1, 2, показывает, что минимальная точность определения констант ЭФВ обобщенной  $\alpha$ -модели оказывается, во всяком случае, не хуже максимальной точности расчетов *ab initio*, что следует признать очень хорошим результатом. Сравнение же ЭФВ в  $Mg^{11}B_2$  [11] с образцом  $MgB_2$  [20] действительно указывает на их



**Рис. 4.** Электронные теплоемкости  $Mg^{11}B_2$  [11] (а) и  $Ba(Fe_{0.925}Co_{0.075})_2As_2$  [12] (б) (темные точки), их вид в  $2Ba\alpha$ -модели (светлые сплошные линии) и в  $\alpha'$ -приближении (светлые точки) для указанных в табл. 3 параметров (аппроксимация 1)

значительные различия. Такое сравнение указывает, во-первых, на существенное увеличение межзонного ЭФВ, особенно заметное для констант спаривания (4): соответственно  $\tilde{\lambda}_{12}^0 = 0.085$ ,  $\tilde{\lambda}_{12}^0 = 0.089$  и  $\tilde{\lambda}_{12}^0 = 0.004$ ,  $\tilde{\lambda}_{12}^0 = 0.037$ . Во-вторых, оно указывает на сильное увеличение (практически, выравнивание по отношению к внутризонному, как и в трехмерном случае) межзонного рассеяния в  $\pi$ -зоне. К подобным эффектам могли бы привести дефекты в магниевой плоскости [3]. Рассчитанная величина внутризонной константы  $Ba(Fe_{0.925}Co_{0.075})_2As_2$ ,  $\lambda_{22}^0 \leq 0.53$ , хорошо согласуется с оцененной ранее из оптических измерений нормального состояния  $Ba(Fe_{0.9}Co_{0.1})_2As_2$   $\lambda_{22}^0 \approx 0.45$  [22]. Заметим также, что найденные нами «оптимальные» межзонные константы ЭФВ (аппроксимация 2), как и можно было ожидать, удовлетворяют сформулированным в разделе двум критериям применимости  $2Ba\alpha$ -модели.

#### 4. ЗАКЛЮЧЕНИЕ

В настоящей работе проведен последовательный теоретический анализ общих свойств двухзонных сверхпроводников. На основе предложенного нами корректного обобщения  $\alpha$ -модели для двухзонных сверхпроводников рассчитаны температурные зависимости щелей и энергий мод Леггетта в сверхпроводящей системе  $Mg_{1-x}Al_xB_2$  и плотности сверхпроводящего конденсата в сверхпроводнике  $Ba(Fe_{0.9}Co_{0.1})_2As_2$ . Указано на очень слабое межзонное взаимодействие в этом соединении и на возможность обнаружения в нем леггеттовского колективного возбуждения. Рассчитана температурная зависимость теплоемкости двухщелевых слоистых сверхпроводников  $Mg^{11}B_2$  и  $Ba(Fe_{0.925}Co_{0.075})_2As_2$ . Определены величины щелей и констант электрон-фононного взаимодействия этих сверхпроводников. Показано хорошее совпадение всех рассчитанных нами характеристик с экспериментальными данными и имеющимися расчетами *ab initio*. Также показано, что часто использующаяся для определения щелей по экспериментальной зависимости электронной теплоемкости  $C_s(T)$  эмпирическая двухзонная  $\alpha$ -модель применима только к сверхпроводникам с относительно сильным межзонным рассеянием, причем значения щелей, определяемых с применением этой модели, оказываются заниженными. Проведенный нами теоретический анализ свойств слоистых сверхпроводников показал, что они последовательно описываются в рамках стандартной теории сверхпроводимости, основанной на электрон-фононном взаимодействии.

Работа выполнена при финансовой поддержке РФФИ (гранты №№ 09-02-00560, 10-02-00614, 11-02-00199, 11-02-00615) и в рамках Программы фундаментальных исследований Отделения физических наук РАН «Сильно коррелированные электроны в твердых телах и структурах».

#### ЛИТЕРАТУРА

1. G. Gladstone, M. A. Jensen, and J. R. Schrieffer, in *Superconductivity*, ed. by R. D. Parks, New York (1969).
2. J. J. Hopfield, Phys. Rev. **186**, 443 (1969).
3. J. Kortus, O. V. Dolgov, and R. K. Kremer, Phys. Rev. Lett. **94**, 027002 (2005).

4. M. Putti, C. Ferdegrini, M. Monni et al., Phys. Rev. B **71**, 144505 (2005).
5. P. Szabo, P. Samuely, Z. Pubalova et al., Phys. Rev. B **75**, 144507 (2007).
6. D. Daghero, D. Delaude, A. Galzolani et al., J. Phys.: Condens. Matter **20**, 085225 (2008).
7. G. A. Ummarino, R. S. Gonnelli, S. Massida, and A. Bianconi, Physica C **407**, 121 (2004).
8. J. A. Liu, I. I. Mazin, and J. Kortus, Phys. Rev. Lett. **87**, 087005 (2001).
9. Ya. G. Ponomarev, S. A. Kuzmichev, M. G. Mikheev et al., Sol. St. Comm. **129**, 85 (2004).
10. B. Gorshunov, D. Wu, A. A. Voronkov et al., Phys. Rev. B, Rap. Comm. **81**, 060509 (2010).
11. R. A. Fisher, F. Bouquet, N. E. Phillips et al., Europhys. Lett. **56**, 856 (2001).
12. F. Hardy, T. Wolf, R. A. Fisher et al., Phys. Rev. B **81**, 060501(R) (2010).
13. A. A. Golubov, J. Kortus, O. V. Dolgov et al., J. Phys.: Condens. Matter **14**, 1353 (2002).
14. H. J. Choi, D. Roundy, H. Sun et al., Phys. Rev. B **66**, 020513 (2002).
15. A. J. Leggett, Progr. Theor. Phys. **36**, 901 (1966).
16. S. G. Sharapov, V. P. Gusynin, and H. Beck, Eur. Phys. J. B **30**, 45 (2002).
17. Проблема высокотемпературной сверхпроводимости, под ред. В. Л. Гинзбурга, Д. А. Киржника, Наука, Москва (1977).
18. H. Padamsee, J. E. Neighor, and C. A. Shiffman, J. Low Temp. Phys. **12**, 387 (1973).
19. E. J. Nicol and J. P. Carbotte, Phys. Rev. B **71**, 054501 (2005).
20. A. E. Каракозов, Е. Г. Максимов, Я. Г. Пономарев, Письма в ЖЭТФ **91**, 26 (2010).
21. А. А. Абрикосов, Л. П. Горьков, И. Е. Дзялошинский, Методы квантовой теории поля в статистической механике, ГИФМЛ, Москва (1962).
22. E. G. Maksimov, A. E. Karakozov, B. P. Gorshunov et al., Phys. Rev. B **83**, 140502(R) (2011).
23. L. Boeri, O. V. Dolgov, and A. A. Golubov, Phys. Rev. Lett. **101**, 026403 (2008).